

نشریه پژوهش و برنامه‌ریزی شهری، سال هشتم، شماره سی و یکم، زمستان ۱۳۹۶
شایا چاپی: ۵۲۲۸-۰۲۲۸، ۲۴۷۶-۳۸۴۵
دریافت: ۱۳۹۶/۵/۲۲ - پذیرش: ۱۳۹۶/۸/۱۹
<http://jupm.miau.ac.ir/>
صفحه ۲۶۶

سنجش میزان تأثیر زاویه تمایل آتربیوم بر آسايش بصری دانش آموزان توسط کارایی نور روز در ساختمان های آموزشی شهر تهران " یک مطالعه میدانی و شبیه سازی "

احمدرضا تورانی: دانشجوی دکتری معماری، دانشگاه آزاد اسلامی واحد امارات، دبی، امارات متحده عربی،
سید مجید مفیدی شمیرانی^۱: استادیار دانشکده معماری و شهرسازی، دانشگاه علم و صنعت ، تهران، ایران،
مصطفویه طاهباز: دانشیار دانشکده معماری و شهرسازی، دانشگاه شهید بهشتی، تهران، ایران

چکیده:

در این تحقیق به این موضوع که چگونه می توان از راهکارهای جدید جهت مهیا کردن آسايش بصری دانش آموزان و کاهش مصرف انرژی در ساختمان های آموزشی استفاده کرد، پرداخته شده است، چرا که ساختمان های آموزشی زمانی مورد استفاده قرار می گیرند که نور روز وجود دارد. به دلیل اهمیت نور روز در افزایش بهره وری و تأثیر آن بر سلامتی، رفاه و افزایش کارایی بصری در یادگیری، خواندن و نوشتن، ضرورتاً این نوع ساختمان ها مورد توجه واقع شده اند. هدف این مقاله بررسی تأثیر زاویه تمایل آتربیوم بر عملکرد نور روز به وسیله تحلیل پارامترهای مؤثر است به گونه ای که تأمین کننده آسايش بصری باشد. در راستای تحقق این هدف یک مدرسه ابتدایی که دارای آتربیوم مورب می باشد و در شمال غربی شهر تهران قرار دارد به عنوان نمونه مطالعاتی بر اساس روش تحقیق کمی و طبق ماهیت داده ها انتخاب شد که در راستای تحقق تحقیق میدانی، بر مبنای محاسبات کمی در روش تحقیق بنیادین-کاربردی بوده است. زاویه های تمایل متفاوت آتربیوم بر مبنای جهت گیری به سمت دیاگرام خورشیدی و تأثیر آن بر مقدار نفوذ نور روز در زمان های مشخص در ۳ کلاس مجاور آتربیوم با زاویه های تمایل رو به شمال و جنوب تحلیل شدند. نتایج محاسبه شده نرم افزارهای شبیه سازی رادیانس^۲ و دیسیم^۳ براساس موضوع ضوابط انرژی روشنایی،^۴ CIBSE (LG10^۵& Guide A) و CIBSE(2007)^۶ (طراحی مدرسه) و (طراحی محیطی) و شاخص سنجش اعتبار در ساختمان های سیز^۷ (LEED8.1) به عنوان شاخص های کمی برای بررسی سنجش اعتبار روشنایی بررسی شده اند و مورد استفاده قرار گرفتند. نهایتاً آزمون میدانی فوتومتریک با استفاده از ابزار سنجش روشنایی^۸ مورد استفاده قرار گرفت تا نتایج تحلیلی و یافته های تحلیل محاسباتی تأیید اعتبار شوند و بنابراین نتیجه گیری ارائه شد.

کلمات کلیدی: آتربیوم- زاویه تمایل - کارایی نور روز- برنامه شبیه ساز رادیانس- آزمون فوتومتریک

¹ Radiance

² Daysim

³ Chartered Institute of Building Services Engineers, a Guide for Designers, Daylighting and window design

⁴ Chartered Institute of Building Services Engineers, a Guide for Designers, CIBSE, (2006). Environmental design: CIBSE guide A. 7th ed., London: CIBSE: p. 2- 8.

⁵ CABE, (۲۰۰۷), CABE's new schools design quality program, London

۱- مقدمه

در یک تحقیق در سال ۲۰۱۶، محققین نشان دادند که اکثر دانش آموزان ترجیح می‌دهند در جاهایی با نور روز بیشتر کار کنند و طول مدت زمان مطالعه به عنوان مهم ترین خروجی آموزشی در مکان‌هایی که از نور روز مناسب بهره می‌برند، افزایش می‌باید (zomorodian etal, 2016,15-24) دیگری نقش معیارهای استاندارد در توسعه‌ی پایدار جهت پیش‌بینی نور روز در یک آتريوم و روش مرحله به مرحله خلاصه شده طراحی آن بر اساس نور روز (calcagni مورد بررسی قرار گرفته است (shokuhmand etal, 2016,669-682). از یک سو باید گفت که طراحی نامعقول آتريوم، کاربران را با چالش‌هایی چون بیش گرمایش، تنوع درخشندگی و افزایش مصرف انرژی و از سوی مواجه می‌سازد (cole,1990,37) دیگر انعکاس سطوح آتريوم به جداره‌های آتريوم، از فاکتورهای اصلی هستند که بر تحلیل شدت نور روز در فضاهای مجاور تأثیر می‌گذارند (Vetch,1998,92-106) (kazemzadeh, 2015, 246-251) ۴۲ و همچنین نسبت سطوح شیشه‌ای به دیوارها می‌تواند به طور چشمگیری نور روز را افزایش داده و بنابراین مصرف انرژی‌های الکتریکی را کاهش دهد (Well: The proportion space which is enclosed by the boundary surfaces of an atrium (i.e. walls, floor, and roof)).

علیرغم مطالعات متعددی که به منظور درک مزایای آتريوم‌ها که شامل تنشبات چاه، ارتفاع سایه اندازی، نوع شفافیت سقف و ظرفیت حرارتی دیوارهای آتريوم انجام شده است، در هیچ یک از این مطالعات به تأثیر

به دنبال اهمیت علوم آسایش انسانی و اخطارهای بحران انرژی در دهه اخیر و همچنین گزارش‌های منتشر شده به وسیله سازمان جهانی انرژی،^۸ روشنایی با بیش از ۲۵٪ سرانه مصرف انرژی در جایگاه دوم پس از سیستم‌های سرمایش- گرمایش با ۴۵٪ سرانه مصرف انرژی در یک ساختمان قرار می‌گیرد، لذا طراحی صحیح آتريوم‌ها در کاهش مصرف انرژی و عدم وابستگی به سیستم‌های مکانیکی و الکترونیکی، پتانسیل قابل توجهی دارد، زیرا که طراحی نامناسب آتريوم‌ها که تحت تأثیر فاکتورهای مهمی چون زاویه تمایل آتريوم‌ها، تنشبات چاه^۹، کترل سایه اندازی، شکل آتريوم، نسبت ظرفیت حرارتی و سطوح به دیوارها می‌باشد، مشکلات خاصی را ایجاد می‌کند. (shokuhmand etal, 2016) آتريوم و به ویژه زاویه تمایل آن به طور قابل توجهی می‌تواند توزیع میزان بهینه نور روز و شدت مناسب آن را تحت تأثیر قرار دهد و از خیرگی، درخشندگی و تنوع درخشندگی در فضاهای مجاور جلوگیری کند. یک آتريوم، در صورتی که تمام فاکتورهای مؤثر بر طراحی آن که در بالا اشاره شد، در آن مدد نظر قرار گرفته شوند، می‌تواند نقش بسزایی در کاهش میزان مصرف و نیز هزینه مصرف روشنایی مصنوعی داشته باشد و می‌تواند به عنوان یک سیستم انرژی غیرفعال در جهت ایجاد اثربخشی انرژی مؤثر واقع شود.

(kazemzadeh, 2015, 246-251)

⁸ IEA(International Energy Agency)

⁹ Well: The proportion space which is enclosed by the boundary surfaces of an atrium (i.e. walls, floor, and roof).

ماهیت داده ها از روش های کمی و کیفی استفاده شده است و در بخشی از این مقاله که به محدوده مطالعاتی مربوط است، تحقیق به صورت میدانی و بر مبنای محاسبات کمی می باشد. داده های تحقیق و طرح ها و نقشه های ساختمان احداث شده به عنوان منابع دست اول و از طریق مشاهده و مصاحبه، مطالعه کتابخانه ای، مطالعات میدانی و تحلیل های نرم افزاری پس از ورود اطلاعات اولیه در نرم افزار انجام پذیرفته است. در این تحقیق یک ساختمان آموزشی با یک آتريوم مورب در تهران به عنوان نمونه مطالعاتی انتخاب شد و سپس میزان عمق نفوذ و نور روز دریافت شده در ۳ کلاس مجاور آتريوم مورب با نرم افزارهای سنچش انرژی، دیسیم و رادیانس مورد ارزیابی قرار گرفتند.

روش هدایت شده در این مقاله به چهار قسم تقسیم شده است. در ابتدا، مرور متون از بین مطالعات مرتبط، استخراج مفاهیم، چارچوب نظری و محاسبات کمی جهت ارزیابی مؤثر بودن کارایی نور روز مورب بررسی قرار گرفته است. در مرحله ی دوم، نرم افزارهای مناسب انتخاب شدند تا اهداف تحقیق، را محقق گردانیده و ارزیابی نتایج در مقایسه با روش های تجربی مورد تأیید واقع شوند. در مرحله ی سوم به منظور تحلیل پارامترهای مؤثر، مدل های شبیه سازی شده با زوایای مورب متفاوت یک آتريوم به منظور تشخیص افزایش کارایی نور روز در فضای اطراف آتريوم، مورد تحلیل قرار گرفتند و در مرحله ی آخر، مدل های خروجی به شکل داده های عددی در تحلیل آزمون فوتومتریک نرم افزار به منظور اعتبارسنجی یافته

زاویه تمایل آتريوم و ارتباط بین زاویه بهینه و دیاگرام خورشیدی در یک منطقه اقلیمی ویژه در جهت افزایش عمق نفوذ روشنایی، میزان نور دریافت شده و ایجاد یکنواختی با شدت مناسب که اساسی ترین مسائل برای معماران هستند، پرداخته نشده است و این در حالی است که بیان این مسئله می تواند بسیاری از فاکتورهای کلیدی را تحت تأثیر قرار داده تا بهره وری میزان آسایش بصری دانش آموزان را افزایش دهد و باعث کاهش مصرف انرژی های تجدید ناپذیر شود.

همچنین قابل ذکر است که عدم وجود یک الگوی جامع که با ضوابط طراحی ای سازگار باشد که قادر به در نظر گیری معیارهای استاندارد جهت دریافت تأثیرات زاویه تمایل آتريوم باشد و همچنین فقدان و کمبود نمونه های مطالعاتی (نمونه موردی) که دارای آتريوم مورب باشند، انجام این تحقیق را دارای اهمیت و ضروری می نماید.

در بخش یافته های این مقاله، نتایج تحلیل به شکل شبکه بندی های عددی و نمودارهای گرافیکی در شرایط شبیه سازی از خروجی نرم افزارهای سنچش نور روز در مقایسه با داده های ضبط شده ی دستی در موقعیت مکانی موردنظر قرار گرفته که منجر به اثبات نقش مفید زاویه تمایل شمال-جنوب آتريوم در نمونه موردی و افزایش میزان کمی مناسب نور روز و عمق نفوذ آن بدون به خطر انداختن شاخص نور روز مفید ۱۰ برای کاربران ساختمان می گردد.

۱-۱- روشناسی تحقیق

با در نظر گرفتن موضوع این مقاله، روش این تحقیق بنیادین کاربردی و بر اساس هدف تحقیق و طبق

میانگین روشنایی در محیط داخلی در کلاس‌ها می‌باشد که به صورت درصدی از شبیه سازی نور روز بیرونی روی یک صفحه افقی و تحت استاندارد (کمیسیون بین‌المللی روشنایی)^{۱۳} در شرایط آسمان ابری^{۱۴} CIE تعریف می‌شود.

۱-میزان روشنایی نور روز

مقدار نوری که با معیار سنجش لوکس بر روی یک سطح به ازای هر واحد سطح اندازه گیری می‌شود. در مطالعات بیشتر طیف مناسب نور (۳۰۰ لوکس) برای کارهای بصری و دیداری، در کلاس‌های آموزشی پیشنهاد گردیده است (zomorodian et al, 2016, 2015).

24)

۲-شدت درخشندگی نور روز

اندازه گیری شدت روشنایی به ازای یک واحد سطح می‌باشد و میزان توصیف شده نوری می‌باشد که از یک سطح خاص (که در سیستم جهانی^{۱۵} با cd/foot^۲ نشان داده شده) تاییده شده یا بازتاب یافته است و با فوت کندل اندازه گیری می‌شود.

۳-یکنواختی

به صورت نسبت فاکتور حداقل نور روز به میانگین آن در درون فضاء، تعریف شده است (simm etal, 2011, 329-334). نسبت فاکتور نور روز حداقل به میانگین آن (یکنواختی DF %) در بسیاری از استانداردهای روشنایی میزان ۷۰. تعریف شده است.

۴-مفهوم، دیدگاه‌ها و مبانی نظری پژوهش:

پس از تعاریف ذکر شده در مرور متون مرتبطه بر اساس تحقیقات‌های هدایت شده توسط محققینی چون

های تحقیق با داده‌های خروجی آزمون فوتومتریک میدانی مقایسه و تأثید شده است.

۲-۱-مرور متون:

وجود فاکتورهای متعدد تأثیرگذار بر طراحی یک آترویوم در اقلیم مشخص، طراحی را پیچیده تر می‌کند. یکی از این فاکتورهای مهم اقلیمی شرایط آسمان بوده که در طی یک سال تحصیلی در تهران به صورت ابری یا آفتابی یا ترکیبی می‌باشد. از آنجایی که ۲/۳ سال تحصیلی در فصل‌های پاییز و زمستان قرار دارد و در بیش از ۳۰٪ موقعاً، آسمان به صورت ابری می‌باشد، (۱۵٪ نیمه ابری، ۱۵٪ ابری^{۱۶}) و همین امر دلیل اصلی در نظر گرفتن شرایط آسمان ابری به عنوان بدترین شرایط آب و هوایی از جهت میزان دریافت نور و روشنایی می‌باشد که می‌توان این اطمینان را حاصل کرد که حتی در بدترین شرایط آب و هوایی امکان استفاده از حداقل نور روز مطلوب وجود دارد (new construction-technical manual, 2012, 391-397) و این در حالیست که زاویه تمایل یک آترویوم، فرست ورود نور روز به قلب و مرکز یک ساختمان را مهیا می‌کند و در نتیجه با انتخاب زاویه بهینه می‌توان در حد امکان میزان عمق نفوذ روشنایی مطلوب را افزایش و از خیرگی و روشنایی زننده جلوگیری نمود.

تعاریف فاکتورهای تأثیرپذیر از زاویه تمایل آترویوم

به شرح زیر می‌باشد :

۱-نور روز

بر اساس تعاریف شورای ساختمان سیز نروژ و مؤسسه تحقیقات ساختمان^{۱۷} (BRE)، فاکتور جهانی نور روز،

¹¹ برگرفته شده از سامانه‌ی ایستگاه هواشناسی تهران(شمال غرب)

¹² Building Research Establishment (UK)

¹³ International Commission on Illumination

¹⁴ International Commission on Illumination

¹⁵ SI(International System of units)

شبیه سازی انژری همچون رادیانس و دیسیم که بر روی موتورهای شبیه ساز اکوتکت^{۲۰} و دیزاین بیلدر^{۲۱} قرار داده شده اند، مدل سازی گردیده تا حوزه هایی قابل تشخیص برای شبیه سازی نرم افزار را ایجاد کنند.

۲-۲-۲- شبیه سازی

شبیه سازی نور روز به وسیله نرم افزار دیسیم به صورت سالانه و نیز به وسیله نرم افزار رادیانس در زمان های مشخص (در آغاز، میانه و پایان ماه تحصیلی) انجام می شود. در این نرم افزار یک شبکه بندي در ارتفاع ۷۰ سانتی متر از زمین و به اندازه طول کلاس ها تعریف شده و به ۱۳ قسمت در راستای طولی تقسیم شده است. قابل ذکر است که در این نرم افزار، همه پنجره های ورودی نور روز از سایر جهت ها مسدود شده اند و تنها نور دریافتی از سمت آتربیوم به عنوان یک متغیر تحلیل شده است.

۲-۳-۲- مقایسه خروجی ها

در این قسمت همه اطلاعات ذکر شده در بالا، در نرم افزار SPSS^{۲۲} در قالب ارقام وارد شده اند و نتایج در قالب یک نمودار دو متغیره استخراج شده اند تا توزیع میزان روشنایی و عمق نفوذ روشنایی در زمان های معین بر طبق تقویم آموزشی روی شبکه بندي حاصل از آزمون فوتومتریک ارائه شود تا یکنواختی روشنایی و خیرگی و تابش نامناسب ناشی از آن تعیین شوند. این متغیرها شامل عمق نفوذ و میزان روشنایی دریافت شده می باشند.

مردانجویک^{۱۶} (Merdaljevic, 1995, 181-188)، نبیل (Othman et al, 2005, 41-57)، اتمن (Othman, 2012, 244-257) و دیگران^{۱۸} (CIBSE LG10, 2012, 244-257)، CABE (2007)، به منظور مهیا نمودن یک معیار ارزیابی میزان نور روز طبیعی، جدول ۱ استخراج و گردآوری گردید و به عنوان چارچوب نظری به منظور ارزیابی نمونه موردی و نتایج شبیه سازی شده، به کار گرفته شد.

جدول ۱ : میزان مفید روشنایی نور روز بر اساس آسایش

	شرط نور	محدوده روشنایی	مطرح شده توسعه
Merdajevic, (مردانجویک)	نور ناکافی	< 100 lux	
Cibse LG 10	نور کمکی	100- 300 lux	
Othman et al (اتمن و دیگران)	مناسب برای وظایف بصری همانند خواندن و نوشتن	300 -600 lux	
Merdajevic (مردانجویک)	محدوده مورد قبول	300-900 lux	
Cibse 2007	نور روز قابل استفاده	900- 2400 lux	
Merdajevic (مردانجویک)	نور بیش از حد	> 2400 lux	

منبع: نگارنده‌گان

بصری: به صورت سطح روشنایی مورد نیاز فضای آموزشی بر مبنای عملکرد بوده به نحوی که به تنها بی توسط روشنایی طبیعی قابل دسترس در محدوده مقاد جدول زیر باشد:

۲-۴- روند استفاده از نرم افزارها در تحقیق:

۲-۴-۱- مدل سازی

نمونه موردی در محیط نرم افزار سه بعدی سازی رویت^{۱۹} و با توجه به استانداردهای طراحی، به منظور وارد کردن فایل مدل سه بعدی به درون برنامه های

²¹ Design Builder

²² Statistical Package for the Social Sciences: SPSS is a Windows based program that can be used to perform data entry and analysis and to create tables and graphs.

¹⁶ Merdaljevic

¹⁷ Nabil

¹⁸ Othman et al

¹⁹ Revit

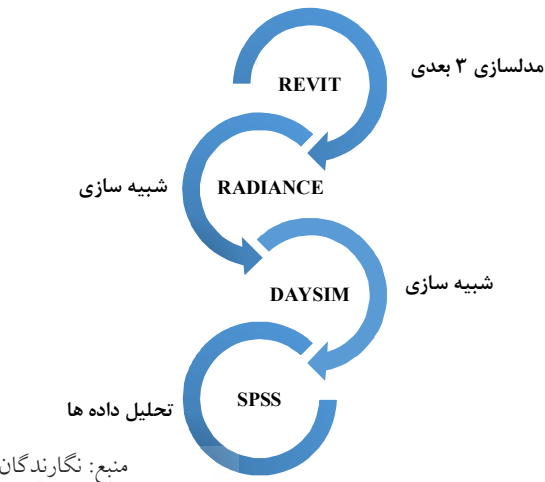
²⁰ Ecotect

هوایی نامنظم به عنوان فواید کلیدی عملکرد نور روز دینامیک در نظر گرفته می‌شوند (Reinhart et al., 2006, 31-37). پس همانگونه که در این تحقیق به اندازه گیری‌ها و شبیه‌سازی با معیارهای استاتیک و دینامیک تکیه شده، نرم افزار دوم پس از رادیانس انتخاب گردید که دیسیم نامیده می‌شود که به دلیل توانمندی‌های این نرم افزار به علت قابلیت و توانمندی آن در بهره وری پویا از نور روز در جهت به کار گیری مؤلفه‌های میزان روشنایی، شدت درخشندگی، یکنواختی و جلوگیری از خیرگی و تابش زنده گزینش شناسی شده است.

۴- اعتبار سنجی نرم افزار:
رادیانس یک ردبای تابش نور روز معتبر، بر مبنای بازتابش (بازخورد، انعکاس) فیزیکی است که نتیجه واقعی تری نسبت به روش شکست نوری^{۲۶} که توسط اکوتکت برای محاسبه فاکتور نور روز استفاده می‌شود (www.Radiance.com)، ارائه می‌کند و این روش می‌تواند، تصویری قبل اعتماد از محیط مدل سازی شده ایجاد نماید، تصویری که می‌تواند در ارزیابی آسایش بصری مؤثر باشد (Kazemzadeh et al., 2015, 246-251).

نرم افزار رادیانس قابلیت این را دارد که شرایط آسمان مثل آسمان صاف (با خورشید یا بدون خورشید)، استاندارد (آسمان ابری)، یا آسمان یکنواخت را شبیه سازی کند (Boyer et al., 1994, 676-681). به علاوه، برنامه شبیه ساز دیسیم نیز برای محاسبه سطح نور روز با همه شرایط آسمانی ممکن در طول سال براساس

نمودار ۱: روند استفاده از نرم افزارها در تحقیق



۳-۲- واحدهای کمی سنجش نور روز:

تاکنون بسیاری از واحدهای کمی سنجش نور روز برای اندازه گیری آن مطابق با معیارهای استاتیک و دینامیک مورد بررسی قرار گرفته‌اند. واحد سنجش کارایی نور روز استاتیکی تنها می‌تواند بر شرایط مطمئن آسمان اقلیمی مانند نور روز معمول در یک زمان مشخص متوجه شود که صرفاً شامل روشنایی نور روز و یکنواختی آن می‌باشد (Reinhart, 2017) در صورتی که واحد سنجش کارایی نور روز دینامیکی هم زمان، چند عامل را در نظر می‌گیرد که این عوامل شامل شاخص نور روز مفید (UDI)^{۲۷}، شامل شاخص نور روز مفید (DA^{۲۸}) و ساعتهاي بهره وری از نور روز (ASE^{۲۹}) و بهره وری در معرض تابش سالانه (CAD^{۳۰}) می‌باشند. همچنین وری مداوم از نور روز (DA^{۳۱}) می‌باشد. در واحدهای سنجش کمی دینامیکی، میزان کمی روشنایی انتخاب گردید که دیسیم نامیده می‌شود و نوع فصلی نور روز در همه سال با رویدادهای آب و

²⁵ Continuous Daylight Autonomy

²⁶ split flux

²⁷ Daylight Autonomy

²⁸ Annual Sunlight Exposure



تصویر ۲: از درون آتريوم مورب منبع: تکارتگان

در سال ۲۰۱۲ مورد بهره برداری قرار گرفته است به عنوان نمونه موردي، انتخاب و تحليل شد. (شکل ۲۱ و ۲۰).

مساحت کلی این مدرسه ۱۶۰۰ مترمربع بوده و دارای ۵ طبقه میباشد که، در طبقات همکف و اول ۳ کلاس آموزشی، پیرامون آتريوم قرار دارد و سایر کلاس ها در قسمتهای دیگر طبقات هستند. ساختمان مدرسه به سمت شمال و جنوب جهت گیری شده است که دارای ۳ کلاس اصلی برداشت شده در دو طرف آتريوم شمالی-جنوبی میباشد. کلاس های جنوبی در طبقه همکف (کلاس ۱) و طبقه اول (کلاس ۲) قرار دارند و کلاس های شمالی در طبقه اول(کلاس ۳) به عنوان نمونه انتخاب شده اند. (به ترتیب در جدول های ۱۰۲ و ۱۰۳).

بر اساس داده های ایستگاه هواشناسی شمال غربی تهران، آسمان تهران در ۷۰٪ طول یک سال صاف و ۱۵٪ موقع نیمه ابری و در ۱۵٪ موقع نیز به صورت ابری می باشد. با توجه به اطلاعات ذکر شده در بالا، اندازه گیری میدانی در یک روز ابری انجام شده است.

بهره وری نور روز (معیارهای دینامیکی)^{۲۷} اعتبار سنجی می شود و این مهم ترین دلیل برای ایجاد نتایج واقعی تر و سنجهش معتبرتر می باشد (Roy, 2000). در ادامه به اعتباردهی محققین زیر درباره ی نرم افزارهای مورد استفاده پرداخته شده است. بررسی لائقی نشان داد که شبیه سازی رادیانس می تواند به یک مدل عددی بسیار دقیق در فضاهای در مقایسه با یک تحلیل تئوری و مدل اندازه گیری دست یابد (Laouadi et al, 2008, 3-15). مطمئناً یک مدل شبیه سازی و عددی کامپیوترا می تواند محققین را به ارزیابی سریع تر گزینه های طراحی سوق دهد(Hopkirk, 1999).

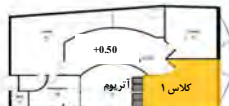
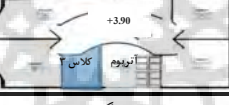
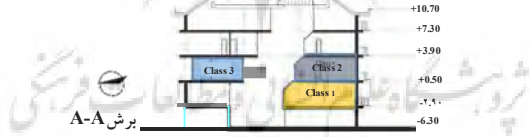
۵-۲- اندازه گیری نمونه مورد مطالعه:

از آنجایی که هدف این تحقیق تعیین نقش مفید زاویه تمایل آتريوم در عملکرد نور روز در ساختمان های آموزشی شهر تهران می باشد، مدرسه ابتدایی شهید مهدوی واقع در شمال غرب شهر تهران با طول جغرافیایی ۳۵/۷ و عرض جغرافیایی ۵۱/۳۸، که دارای یک آتريوم مورب با زاویه ۶۶ می باشد و توسط دکتر مجيد مفیدی شمیرانی در سال ۲۰۰۹ طراحی شده و مدرسه ابتدایی شهید مهدوی



Google Earth.com: منبع

تصویر ۱: موقعیت مکانی مدرسه شهید مهدوی

جدول ۱: کلاس ۱			
نام	موقعیت	ارتفاع (متر)	عرض (متر)
کلاس (۱)	طبقه همکف جنوبی	۳ متر	۸.۵ متر
			
جدول ۲: کلاس ۲			
نام	موقعیت	ارتفاع (متر)	عرض (متر)
کلاس (۲)	جنوبی-طبقه اول	۴ متر	۷.۲ متر
			
جدول ۳: کلاس ۳			
نام	موقعیت	ارتفاع (متر)	عرض (متر)
کلاس (۳)	شمالي-طبقه اول	۴ متر	۳.۷ متر
			
جدول ۴: کلاس ۱			
ارتفاع کل	جهت گیری	عرض (متر)	شمالي - جنوبی
۱۸ متر	پلان طبقه اول	۳ متر	
			

منبع: نگارندهان

جهت دستیابی به نتایج معتبرتر داده‌ها، تمامی نورهای مصنوعی خاموش شده و به جز پنجره‌های جداره‌ی آتريوم، سایر بازشوها با سطوح سیاه پوشیده شدند و فقط جداره‌های سمت آتريوم که پنجره دوجداره به کار گرفته شده و تأمین کننده نور روز بوده، مورد ارزیابی قرار گرفتند. داده‌ها هر یک ساعت از ساعت ۹ صبح تا ۳ بعدازظهر ثبت گردیدند.

(۵) مارچ ۲۰۱۶، ۱۴ اسفند ۱۳۹۵). میزان روشنایی به وسیله نورسنج ST-1302 با دقت $1\text{ od} \pm 3\%$ در $13<10,000 \text{ lux/fc})$ نقطه روی شبکه بندی نمونه‌های از پیش تعریف شده براساس نرم افزار به عنوان یک شبیه آزمایش فتومنتریک در برنامه‌های دیسیم و رادیانس بر سطح میز با ارتفاع ۰.۷ متر ثبت شدند.

مورد بررسی قرار می دهد، به عنوان نرم افزار پایه در نظر گرفته شده است. اما برای اعتبار سنجی و موثق بودن اطلاعات مستخرج از این نرم افزار متناسب با متغیر عمق نفوذ نور روز، از نرم افزار شبیه ساز دیسیم که سنجش را به صورت سالانه مورد بررسی قرار می دهد، استفاده شده است و برای سنجش نور دریافتی به روش میدانی با ابزار سنجش نور روز، داده های مستخرج، مورد اعتبار سنجی قرار می گیرند و در نمودارهای زیر قیاس تطبیقی نتایج شبیه سازی نرم افزاری و نتایج بدست آمده میدانی، مشهود است و به دلیل محدودیت در تعداد صفحات از نمودارهای مذکور فقط نمودارهای خروجی یک روز (۱۴ اسفند) منتخب گردیده که مصادف با زمان سنجش نور دریافتی با ابزار نورسنج در موقعیت مکانی نمونه موردي می باشد، که مطرح شده اند.

برای اعتبار سنجی خروجی های عمق نفوذ نور که توسط نرم افزار شبیه سازی رادیانس گرفته شده اند، عمق نفوذ نور مجدداً توسط نرم افزار شبیه ساز دیسیم که خروجی آن به صورت سالانه (با در نظر گرفتن ۱۰۰ لوکس به عنوان حداقل میزان نور دریافت شده) می باشد سنجیده شد و بر اساس نمودار ستونی زیر مورد مقایسه قرار گرفته اند و نتایج آن حاکی از تصدیق و اعتبار عمق نفوذ مشخص شده توسط نرم افزار رادیانس با موتورهای شبیه سازی اکوتک و دیزاین بیلدر می باشد.

۶-۲- نمونه مورد مطالعه:

آتربیوم و فضاهای مجاور آن با شباهتی نزدیک به شرایط واقعی مدل سازی شدند و ویژگی های سطوح به صورت جدول زیر می باشد.

جدول ۵: ویژگی های نوری سطوح منبع: نگارندگان

عناصر ساختمان	ویژگی های نوری سطوح
پنجره (دوجداره)	۰.۷۸ انتقال نور
سقف	۸۵٪ انعکاس
دیوار داخلی	۷۵٪ انعکاس
کف	۶۰٪ انعکاس
دیوا ریرونوی	۴۵٪ انعکاس
کف بیرونی	۷٪ انعکاس

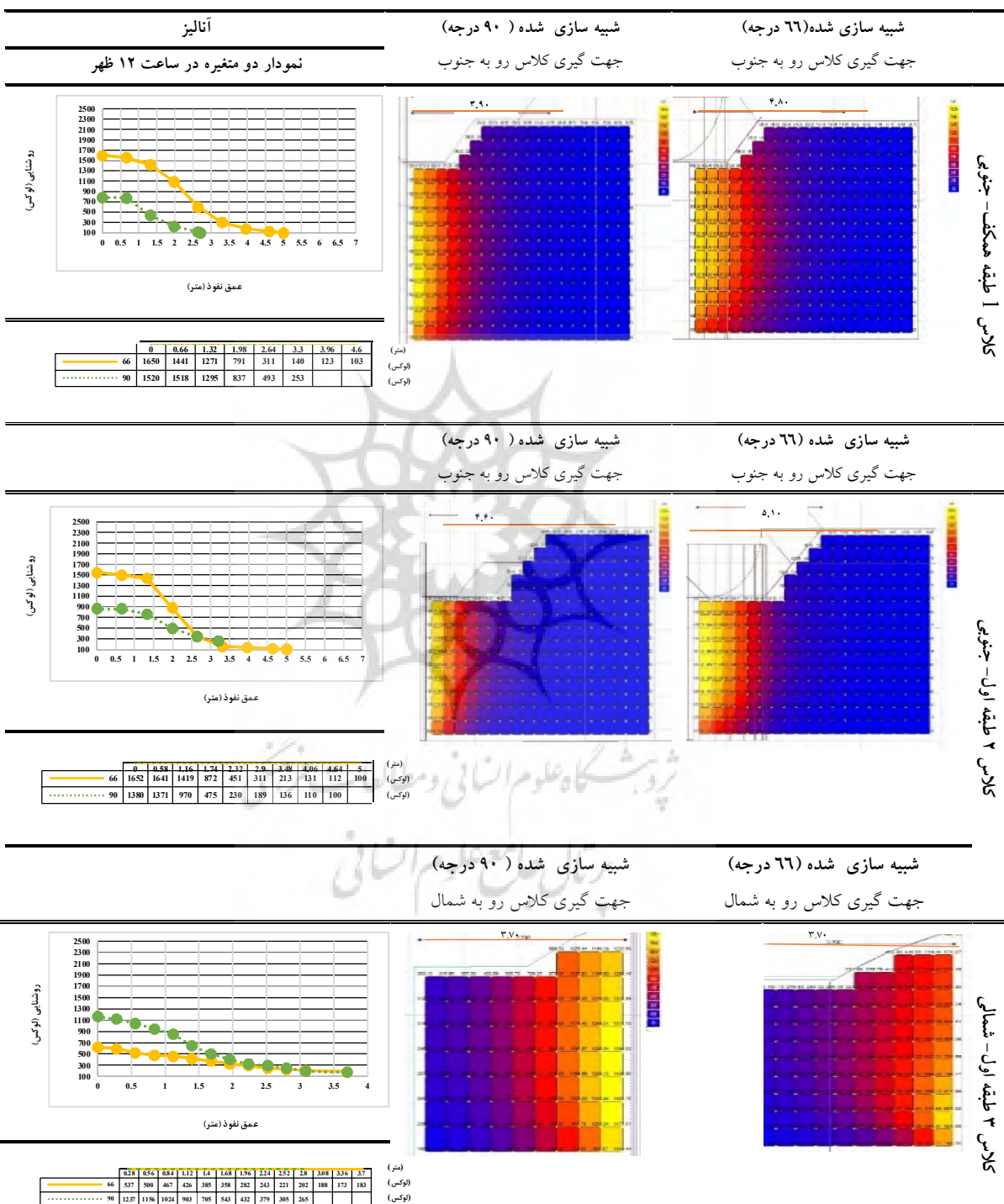
تحلیل پارامترهای مؤثر تحت گنبد آسمان با شرایط آسمان ابری (10,000 lux) در ارتفاع ۰.۷ متر از کف (مشخص کننده ارتفاع میز) در فضای کلاس های مجاور آتربیوم انجام شده است. علیرغم همه شرایط پیچیده در مورد محاسبه استفاده از پنجره های دو جداره در بهره برداری نور روز، این نوع پنجره ها مدل سازی شدند. علاوه بر آن، متغیرهای شبیه سازی شامل ارتفاع و عرض روزنه ها، در هر سه کلاس به صورت یکسان در نظر گرفته شده اند.

۳- یافته ها:

۳-۱- اعتبار سنجی:

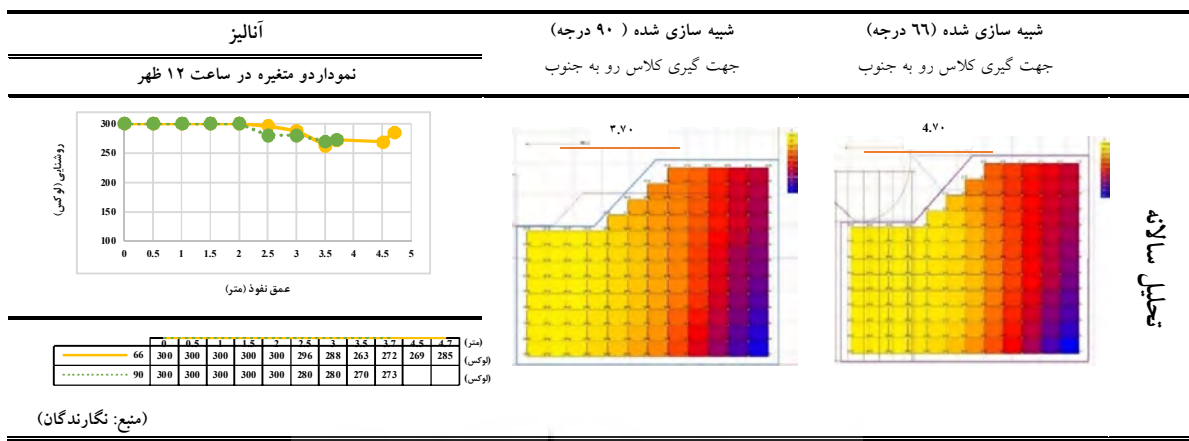
مشخصه های کمی نور روز که شامل فاکتور نور روز، روشنایی، عمق نفوذ نور و یکنواختی می باشند، برای مدل هر کلاس محاسبه شدند. در تحلیل های صورت گرفته در پژوهش پیش رو، نرم افزار شبیه ساز رادیانس که دو متغیر عمق نفوذ نور روز و میزان نور دریافتی را

جدول ۶: مقایسه میزان روشنایی شبیه سازی شده در هر متر در آزمایش های فوتومتریک در ۱۴ اسفند(۵ مارچ) (با استفاده از نرم افزار شبیه ساز آنالیز)

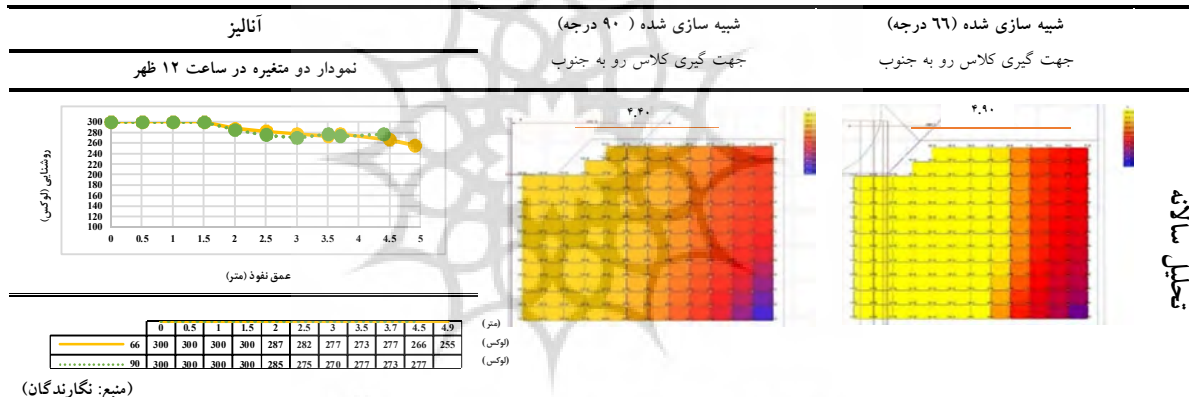


(منبع: نگارندگان)

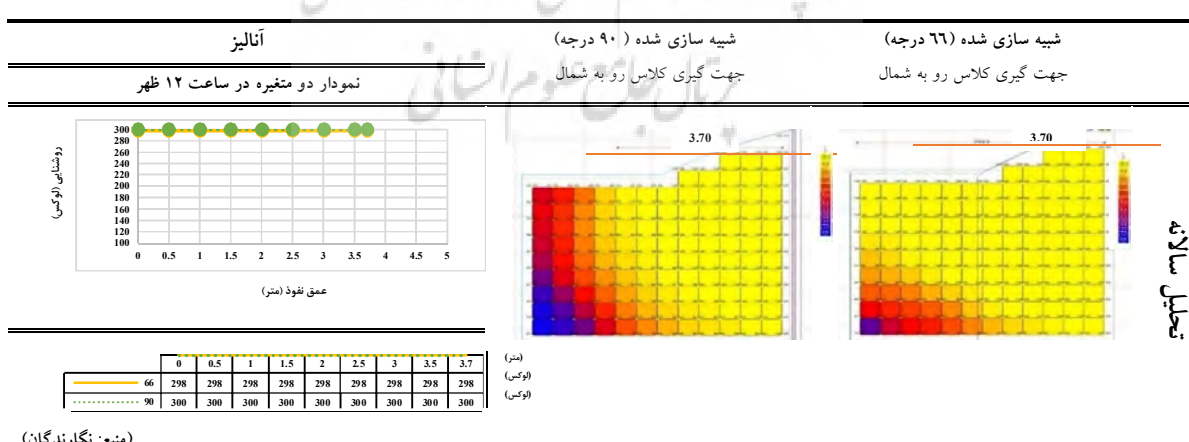
جدول ۷: مقایسه سطوح روشنایی شبیه سازی شده در آزمایش های فوتومتریک در کلاس ۱ (با استفاده از نرم افزار شبیه ساز دیسیم)



جدول ۸: مقایسه سطوح روشنایی شبیه سازی شده در آزمایش های فوتومتریک در کلاس ۲ (با استفاده از نرم افزار شبیه ساز دیسیم)



جدول ۹: مقایسه سطوح روشنایی شبیه سازی شده در آزمایش های فوتومتریک در کلاس ۳ (با استفاده از نرم افزار شبیه ساز دیسیم)



اسفند (۵ مارچ) که تنها یکی از ۳ روز بازدید از مدرسه در طول یک سال می‌باشد، میزان نور روز توسط ابزار سنجش نور در میانگین ۳ ردیف، در قسمت نزدیک تر به پنجه، در میانه کلاس و در انتهای کلاس بررسی شده است و جهت اعتبار سنجی نور روز دریافتی در نمونه مطالعاتی آزمون‌های فتومنتریک نرم افزاری گرفته شده، نتایج ضبط شدند و در جدول زیر نتایج آزمون میدانی با خروجی‌های نرم افزار شبیه ساز رادیانس در کلاس‌های ذکر شده مقایسه شدند و همانگونه که در جدول دیده می‌شود، نتایج با تقریب ۰٪ اعتبار یافته‌های این تحقیق را اثبات می‌کند و اطلاعات راجع به آن در جدول زیر توصیف شده است.

جدول ۱۰: میزان روشنایی اندازه گیری شده در تاریخ ۱۴ اسفند با زاویه تمايل ۶۶ درجه در سه کلاس مجاور آتیوم (میانگین ضبط شده اعداد از ساعت ۹-۱۵) در هر ساعت

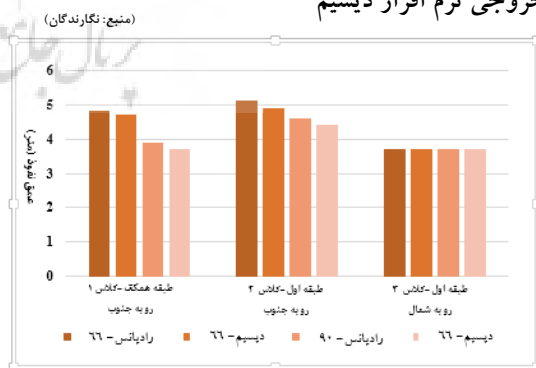
(منبع: نگارندگان)

طبقه همکف (کلاس ۱)	طبقه اول شمالی (کلاس ۲)	طبقه اول جنوبی (کلاس ۳)
۶۶ درجه	۶۶ درجه	۶۶ درجه
(لوکس) ۱۵۵۷	(لوکس) ۱۴۰۰	(لوکس) ۵۳۷
(لوکس) ۱۴۱۸	(لوکس) ۱۴۴۰	(لوکس) ۵۰۰
(لوکس) ۱۰۸۸	(لوکس) ۱۰۰۸	(لوکس) ۴۶۷
(لوکس) ۶۰۳	(لوکس) ۷۲۷	(لوکس) ۴۲۶
(لوکس) ۳۰۴	(لوکس) ۴۳۵	(لوکس) ۳۸۵
(لوکس) ۱۸۳	(لوکس) ۳۱۰	(لوکس) ۳۵۸
(لوکس) ۱۳۰	(لوکس) ۲۳۶	(لوکس) ۲۸۲

قابل ذکر است که نمودار ستونی رادیانس در زوایای ۶۶ درجه و ۹۰ درجه بر اساس میانگین عمق نفوذ رادیانس در ۱۸ زمان مشخص گفته شده در قسمت ۲-۲ مقاله بوده "ابتدا، وسط و انتهای هر ماه" که بر اساس تقویم آموزشی مدارس انتخاب شده اند و نکته‌ی حائز اهمیت دیگر این است که خروجی نرم افزار دیسیم به دلیل اینکه میانگین سالانه را محاسبه می‌نماید و ۳ ماه تابستان با توجه به زاویه ارتفاع نسبتاً عمودی تر خورشید نسبت به بقیه ماه‌های سال و زاویه جهت آن در منطقه گرم و خشک تهران عمق نفوذ نور حاصله از نرم افزار دیسیم مقداری کمتر از عمق نفوذ حاصله از میانگین زمان‌های خاص انتخاب شده در نرم افزار رادیانس که قادر ۳ ماه تابستان در تقویم آموزشی می‌باشند، خواهد بود.

همان گونه که در بخش روش شناسی ذکر شد، موقعیت کلاس معرفی شده در قسمت ۵-۲ در ۱۴

گراف ۲: اعتبار سنجی عمق نفوذ نور در خروجی نرم افزار رادیانس در ۳ کلاس مجاور آتیوم بر اساس خروجی نرم افزار دیسیم



تأیید یافته‌های تحقیق با آزمایش‌های فتومنتریک میدانی:

جغرافیایی از اینترنت به صورت زنده اتفاق می افتد و دسترسی به داده های ایستگاه های هواشناسی در عرض جغرافیایی محل در راستای تشخیص دقیق نوع آسمان و زاویه ارتفاع و زاویه جهت خورشید و ارتفاع مکان از سطح دریا مورد استفاده قرار میگیرد.

آن گونه که خروجی ها و نتایج نشان می دهند، زاویه تمایل آتربیوم و شاکله آن می تواند به طور چشمگیری کارایی نور روز در راستای افزایش عمق ورود نور روز به داخل فضای آموزشی را تحت تأثیر قرار دهن.

در حالی که زاویه بهینه آتربیوم با فراهم کردن میزان کمی مناسب روشنایی نور روز بر اساس جدول ۱ از قسمت ۱-۲ (Carla Balocco, 2008: 172-178) از بدنه مقاله در فضای مجاور آتربیوم موجب افزایش توزیع یکنواختی به علت دریافت مستقیم نور روز در آتربیوم می گردد. علاوه بر این، طیف مناسب میزان روشنایی بر اساس شاخص مفید نور روز (UDI) در

مدل دینامیکی که قبلاً در بخش ۱-۲ از جدول ۱ (merdaljevic, 1995: 181-188) از بدنه مقاله عنوان شد: (300-900) لوکس میزان روشنایی مربوط به نیازهای بصری انسان برای انجام فعالیت های متفاوت در روش بهره وری مفید (دینامیکی) در طیف پذیرفته شده قرار دارد و (۳۰۰-۶۰۰) لوکس و حداقل (۳۰۰) لوکس برای عملکرد بصری شامل خواندن و نوشتمن در کلاس های آموزشی توصیه شده اند، (Othman etal, 2012: 244-257)

به علاوه در جدول ۱ از بخش ۱-۲ قسمت چارچوب نظری که از مرور متون مرتبط استخراج شده است،

قابل ذکر است که اطلاعات تنها برای زاویه ۶۶ درجه تعريف و اندازه گیری می شود (با توجه به نمونه مطالعاتی) و اگر در موقعیت های مورد نظر در این زاویه میزان روشنایی با خروجی های نرم افزار برابر باشد می توان نتیجه را به زاویه ۹۰ درجه تعمیم داد.

جدول ۱۱: تناظر تطبیقی میزان روشنایی شبیه سازی شده توسط نرم افزار و اندازه گیری شده میدانی در کلاس های نمونه موردی در ساعت ۱۲ بعداز ظهر (منبع: نگارندگان)

کلاس ۳	کلاس ۲	کلاس ۱	پیشینه میزان نور				
66			شیوه سازی شده اندازه گیری شده درجه	درزمان توسط نرم افزار مشخص رادیانس	1380 (لوکس)	1577 (لوکس)	496 (لوکس)
			به وسیله ابزار ستجش روشنایی		1410 (لوکس)	1550 (لوکس)	500 (لوکس)
۹۰			شیوه سازی شده اندازه گیری شده درجه	درزمان توسط نرم افزار مشخص رادیانس	1173 (لوکس)	1153 (لوکس)	1324 (لوکس)

۴-۴- بحث

مطابق پیش فرضهای نرم افزار رادیانس، شرایط آسمان این نرم افزار از یک تحلیل استاتیکی از سطوح روشنایی فضای بیرون ناشی می شود و وبسایت رادیانس سطح روشنایی افقی ای را معرفی می نماید که نتیجه ی برداشت بیش از ۸۵٪ زمان های بین ساعت ۹ صبح تا ۱۷ بعد از ظهر در طول یک سال کاری می باشد و بر اساس تعاریف ذکر شده از نرم افزار شبیه ساز دیسیم، پیش فرضهای تمامی شرایط ممکن آسمان در طول سال جهت محاسبه میزان کمی کارایی مؤثر نور روز براساس بهره وری مفید از طریق تغذیه عرض

افزایش کارایی نور روز و کاهش مصرف انرژی جهت تأمین روشنایی گردد. در این میان تحلیل های عددی ای که از موتور شبیه سازی سنجش میزان نور روز گرفته شده اند، نشان می دهند که فاکتور نور روز در گستره ای مناسب روشنایی بر اساس قسمت ۱-۳ بدن مقاله و بر طبق جدول ۱ از بخش ۱-۲ این مقاله، در کلاس های بررسی شده قرار گرفته است که این تحلیل های کمی نقش مؤثر کارایی زاویه ای تمایل آتریوم را در جهت افزایش عمق نفوذ و افزایش روشنایی و تأمین گستره مناسب میزان روشنایی نور روز جهت بهره وری گستره مناسب آموزشی و ایجاد یکنواختی بیشتر که با نسبت حداقل فاکتور نور روز به میانگین آن در فضا (حداقل/میانگین) سنجیده می شود را به اثبات رسانیده است.

برای اشاره به تصدیق نتایج با در نظر گرفتن موارد فوق، اولین موضوع قابل ذکر این است که نور وارد شده به کلاس های جنوبی با زاویه ۶۶ درجه تمایل آتریوم، عمق نفوذ بیشتری نسبت به کلاس های مجاور شمالی مجاور آتریوم با هر دو زاویه ۶۶ و ۹۰ درجه به دلیل محدودیت طول کلاس در نمونه موردی، روشنایی در هر دو کلاس تا عمق ۳.۷ متر انتهای کلاس پوشش داده می شود. اما در مورد میزان روشنایی کلاس شمالی با زاویه ای ۹۰ درجه شدت نور نسبتاً بیشتری در مقایسه با کلاس مجاور آتریوم با زاویه ای ۶۶ درجه وجود دارد که تا حدی بیش از میزان روشنایی گستره ای مناسب و توصیه شده در چارچوب نظری این تحقیق می باشد و موجب کاهش یکنواختی

طیف مفید روشنایی قید شده (۹۰۰-۲۴۰۰) لوکس (Nabil et al, 2005:41-57) در طیف قابل استفاده نور روز و طیف محدوده حمایتی (روشنایی کمکی) در استاندارد بهره وری مفید(UDI) محدود به کمتر (۱۰۰) لوکس) بر اساس (CIBSE 2007) (طراحی مدرسه) می باشد. نتایج نشان میدهدند که تمامی طیف های روشنایی گفته شده ای فوق که بر بنای چارچوب نظری این تحقیق میباشد، در کلاس های ۱ و ۲ جنوبی مجاور آتریوم در زاویه ۶۶ درجه نسبت به زاویه عمودی ۹۰ درجه افزایش یافته و در کلاس شماره ۳ شمالی مجاور آتریوم با توجه به یکسان بودن عمق نفوذ به دلیل طول محدود کلاس در زوایای ۶۶ و ۹۰ درجه یکنواختی توزیع روشنایی افزایش یافته است و این به عنوان دلیل اصلی اثبات فرضیه ای این تحقیق که بیان می نماید، طراحی آتریوم با زاویه تمایل مناسب می تواند بر افزایش کارایی و افزایش میزان کمی روشنایی نور روز در فضاهای آموزشی شهر تهران تأثیرگذار باشد، ایفای نقش می نماید.

۵: نتیجه گیری:

بر اساس مطالب بیان شده، این تحقیق به مطالعه ارتباط بین زاویه های تمایل آتریوم با عمق نفوذ نور روز، طیف مناسب روشنایی جهت بهره وری مفید و شرایط روشنایی(یکنواختی) در فضاهای آموزشی مجاور یک آتریوم می پردازد. بنابراین در نتیجه گیری، نویسنده این باورند که بهینه سازی زاویه های تمایل در سطوح شمالی و جنوبی آتریوم در فضاهای آموزشی نمونه مورد مطالعه می تواند به شکل مؤثری باعث

- Cole, R.J., 1990. The effect of the surfaces enclosing atria on the daylight in adjacent spaces. *Building and Environment* 25(1): 37-42.
- Vetch JA. Newshan GR. Determinated of Lighting quality I: state of the science, *Journal of the illuminating Engineering Society*, 1998, NO. 1. Vol, 27, pp, 92-106 <http://irimo.ir>
- BNV. New Construction – Technical Manual, Norwegian Green Building Council and BRE Global, (SD 5066A:ISSUE 1.1), 2012, pp. 391-397.)
- Simm S, Coley D. The relationship between wall reflectance and daylight factor in real rooms, *Architectural Science Review*, 2011, No. 4, Vol. 54, pp. 329-334.
- Mardaljevic J. 1995. "Validation of a lighting simulation program underreal sky conditions." *Lighting Research & Technology* 27, pp 181-188
- CIBSE, (2006). Environmental design: CIBSE guide A. 7th ed., London: CIBSE: p. 2- 8
- Othman AR, Mazli MAM. Influences of daylighting towards readers" satisfaction at Raja Tun Uda public library, Shah Alam, Procedia-Social and Behavioral Sciences, 2012, Vol. 68, pp. 244-257.
- CABE, (2007). Leaflet of CABE's new schools design quality program, London
- Reinhart CF, Andersen M. Development and validation of a Radiance model for a translucent panel, Energy and Downloaded from ijaup.iust.ac.ir at 19:03 IRDT on Saturday March 25th 2017
- Dubois MC. Impact of Shading Devices on Daylight Quality in Offices-Simulations with Radiance, 2001.
- Reinhart CF, Mardaljevic J, Rogers Z. Dynamic daylight performance metrics for sustainable building design, *Leukos*, 2006, No. 1, Vol. 3, pp. 7-31.
- Radiance & daysim website. Retrieved from <http://www.Radiance.....com>)
- Boyer LL, Song KD. Daylighting prediction and sunlight strategies for atrium design in hot climates. NO-94-3-2, ASHRAE Transactions: Symposia. 1994. p. 676-81.
- Roy G. 2000 & Mardaljevic J. 1995

در کلاس آموزشی شمالی با زاویه ی ۹۰ درجه می گردد.

قابل ذکر است که این کلاس شمالی در طبقه اول بوده و نتیجتاً به خاطر ارتفاع چاه آتربیوم، نور روز بیشتری در مقایسه با طبقه همکف دارد. با در نظر گرفتن آنچه گفته شد، می توان گفت که طراحی آتربیوم ها در ۹۵٪ موارد مشابه مستطیل های قائمه ای می باشند که یک سمت آنها در مجاورت با محیط بیرون است.

اما نتیجه این تحقیق نشان می دهد که فضاهای آموزشی مجاور قسمت جنوبی آتربیوم با زاویه ۶۶ درجه و فضاهای آموزشی مجاور قسمت شمالی آتربیوم با زاویه ۶۶ درجه تمامی جنبه های میزان روشنایی و میزان عمق نفوذ و یکنواختی بهینه را تأمین کرده و نقش کلیدی ای در بهره وری از نور روز مفید در ساختمان های آموزشی مطابق داده های این تحقیق، می تواند ایفا نماید.

منابع:

- Melika Shokuhmand, et al. (2016). Architectural Design of Future Sustainable Primary School in Iran Using Multi-Purpose Atrium, proceeding of 24th Rsearch World International , Istanbul, Turkey.
- Kazemzadeh, M, et al. (2015). Influence of surface Parameter on adjacent space in atrium office building, Enginnering Science and Technology an International Journal(ESTIJ), 5(2), 246- 251
- Zomorodian.Z.S, et al. (2016). The effect of window configuration on daylight performance in classrooms: A field and simulation study, international journal architect, Engineering, urban plan, 26(1);15-24
- Calcagni,B. & Paroncini, M. (2004). Daylight Factor Prediction in Atria Building Desgns, Solar Energy, 76, 669-682.

- Manufactures Association, light, Sight, and Photobiology Lighting Futures, Vol. 2. No. 3. 1991.
- Dilouie C., Personal vs. automatic, Architectural lighting, Vol. 10, No. 3, 1996. Pp.46-49.
- Poordeihihmi, SH & Seied Javadi, F. (1387), Daylight Effect on Human Behavior: Perceptual Process and Biological-Psychological Daylight, Soffeh Journal. 17(46): 67-75
- Mahdavinejad, M.J, Tahbaz, M & et al. (1395). Optimization of proportions and how to use light refinement in the architecture of educational classes, Fine Arts magazine, Architecture & Urban planning, 21(2): 81-92
- Le Corbusier. (1989). Towards a New Architecture. Oxford: Butterworth Architecture.
- Gardestad, K. (1986). The Living Atrium-Design Guidelines for Quality Atriums. M.A. Thesis. Massachusetts Institute of Technology.
- Calcagni, B. and Paroncini, M. (2004). Daylight Factor Prediction in Atria Building Design. Solar Energy, 76: 669-682.
- Erlendsson, ö. (2014). Daylighting Optimization: A Parametric Study of Atrium Design. M. A Thesis. Stockholm University, Sweden.
- Kim KS, Boyer LL. (1986). Development of daylight prediction methods for atrium design; p. 345-359. International Daylight Conference Proceedings II, November, Long Beach, CA.
- Lim, Y.-W., Ahmad, M. H., & Ossen, D. R. (2010). Empirical Validation of Daylight Simulation Tool with Physical Model Measurement. American Journal of Applied Sciences, 7 (10)(Science Publications), 1426-1431.
- Baker, N., Franchiotti, Steemers, (Eds.), 1993. Daylighting in Architecture, a European Reference Book. James & James, London
- M.J. Bednar, "The new Atrium." New York, McGraw-Hill Inc, 1986.
- Mahdavinejad M, et al. Estimation of daylight availability and illuminance on vertical south facing surfaces in Tehran, in Advanced Laouadi A., Reinhart CF. and Bourgeois D. 2008. "Efficient calculation of daylight coefficients for rooms with dissimilar complex fenestration systems." Journal of Building Performance Simulation 1, pp 3-15
- Hopkirk, N., 1999. Methodology for the development of a simple design tools for the energy demands in offices adjacent to atria, T21/C4-16/SUI/ 99-05, Swiss Federal Laboratories for Material Testing and Research (EMPA), Building section, Duebendorf, Switzerland.
- Carla Balocco, R. C. (2008). Natural light design for an ancient building: A case study. Journal of Cultural Heritage, 9, 172-178.
- Nabil A, Mardaljevic J. Useful daylight illuminance: a new paradigm for assessing daylight in buildings, Lighting Research and Technology, 2005, No. 1, Vol. 37, pp. 41-57.
- Mofidi shemirani, M and et al. (1389), Investigating the Climatic Performance of Internal Lighting Structures of Administrative Buildings, Case Study: Typical Buildings in Tehran's Climatic Area, The Scientific Society of Architecture & Urbanism (SAU) • 1: 101-108
- Murgul, V. (2015). Reconstruction of the Courtyard Spaces of the Historical Buildings of Saint-Petersburg with Creation of Atriums. International Scientific Conference Urban Civil Engineering and Municipal Facilities, 2015.
- Phillips, D. (2004). Daylighting: Natural Light in Architecture. Architectural Press, Oxford.
- Evans G. W. and Maxwell L., Chronic Noise Exposure and Reading Deficits: the Mediating Effects of Language Acquisition, Environment and Behavior, Vol. 29, No. 5, 1999, pp. 638-656.
- Lberman, J. Light of the Future, New Mexico: Bear and Company Publishing, Lighting and Human Performance: A Review, Washington DC, and National Electronical

Materials Research, Trans Tech Publ, 2012.

Design I. Guide for daylighting schools, Guide for Daylighting Schools, 2004

Daylight

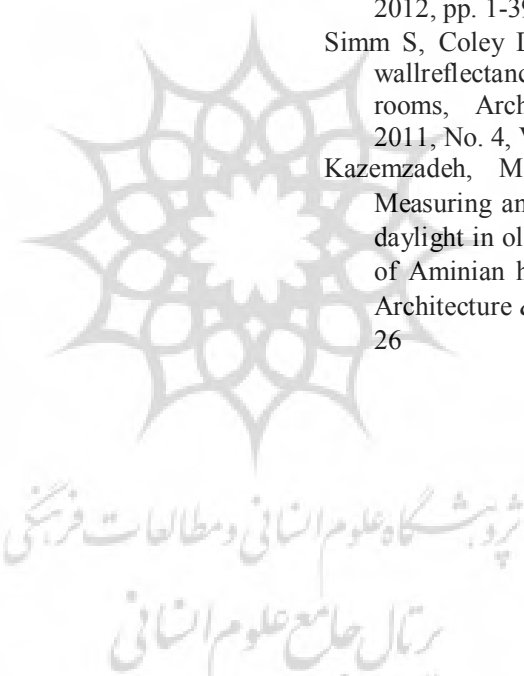
Quality in Offices-Simulations with Radiance, 2001.

Roy G. (2000). "A comparative study of lighting simulation packages suitable for use in architectural design." Report of school of engineering, Murdoch University. Rockingham, Australia.

BNV. New Construction – Technical Manual, Norwegian Green Building Council and BRE Global, (SD 5066A:ISSUE 1.1), 2012, pp. 1-397.)

Simm S, Coley D. The relationship between wallreflectance and daylight factor in real rooms, Architectural Science Review, 2011, No. 4, Vol. 54, pp. 329-334.)

Kazemzadeh, M & Tahbaz, M. (1390). Measuring and studying the conditions of daylight in old Kerman homes (case study of Aminian homes), Fine Arts magazine, Architecture & Urban planning, 18(2): 17-26





پژوهشگاه علوم انسانی و مطالعات فرهنگی
پرستال جامع علوم انسانی